

# Diagnóstico da Propagação de Ondas MHD na Atmosfera Solar

Sandra M. Conde C.  
Orientador: Dr. Joaquim E. Rezende

## RESUMO

A dissipação de energia dada pelo amortecimento das ondas MHD é considerada um dos mecanismos responsáveis do aquecimento da coroa solar. A observação e o estudo teórico delas são complementários. O diagnóstico da propagação dessas ondas procura estabelecer limites para os diferentes processos dissipativos que expliquem as variações de brilho nas bandas de Rádio e EUV.

Workshop da Pós-Graduação da Divisão de Astrofísica (DAS)  
Instituto Nacional de Pesquisas Espaciais (INPE)

2014

# 1. Ondas MHD

Perturbações de pequenas amplitudes que propagam-se ao longo das linhas de campo magnético  $\mathbf{B}$ , através da interação entre a inércia do fluido e a força restauradora da pressão [Ferraro e Plumpton 1966].

Equações da Magnetohidrodinâmica Ideal

$$\frac{\partial \rho}{\partial t} + \frac{\partial(\rho v_i)}{\partial x_i} = 0,$$

$$\rho \left( \frac{\partial v_i}{\partial t} + v_j \frac{\partial v_i}{\partial x_j} \right) = - \frac{\partial p}{\partial x_i} + \frac{1}{4\pi} \left[ B_k \frac{\partial B_i}{\partial x_k} - \frac{1}{2} \frac{\partial(|B|^2)}{\partial x_i} \right],$$

$$\frac{\partial p}{\partial t} + v_j \frac{\partial p}{\partial x_j} - c_s^2 \left( \frac{\partial \rho}{\partial t} + v_j \frac{\partial \rho}{\partial x_j} \right) = 0,$$

$$p = \frac{R}{\mu} \rho T,$$

$$\frac{\partial B_i}{\partial t} = B_j \frac{\partial v_i}{\partial x_j} - \frac{\partial v_j}{\partial x_j} B_i - v_j \frac{\partial B_i}{\partial x_j},$$

$$\frac{\partial B_i}{\partial x_i} = 0.$$

onde  $c_s^2 = \gamma p_0 / \rho_0$  é a velocidade do som e  $\gamma$  o coeficiente adiabático.

## 1.1. Equação de Onda

- Inicialmente  $v_0 = 0$  e  $\rho_0, p_0, B_0, T_0 = \text{constantes}$ .
- Perturbações da forma  $\rho = \rho_0 + \delta\rho$ ,  $p = p_0 + \delta p$ ,  $B = B_0 + \delta B$ ,  $T = T_0 + \delta T$  e  $\delta v$  [Mihalas e Mihalas 1984, Landau e Lifshitz 1987].

$$\frac{\partial \delta \rho}{\partial t} + \rho_0 \frac{\partial \delta v_i}{\partial x_i} = 0,$$

$$\frac{\partial \delta p}{\partial t} - c_s^2 \frac{\partial \delta \rho}{\partial t} = 0,$$

$$\frac{\delta p}{\rho_0} = \frac{\delta \rho}{\rho_0} + \frac{\delta T}{T_0},$$

$$\rho_0 \frac{\partial \delta v_i}{\partial t} = -\frac{\partial \delta p}{\partial x_i} + \frac{1}{4\pi} \left[ B_{0k} \frac{\partial \delta B_i}{\partial x_k} - \frac{\partial}{\partial x_i} (B_{0j} \delta B_j) \right],$$

$$\frac{\partial \delta B_i}{\partial t} = \left( B_{0k} \frac{\partial}{\partial x_k} \right) \delta v_i - B_{0i} \frac{\partial \delta v_k}{\partial x_k},$$

$$\frac{\partial \delta B_i}{\partial x_i} = 0.$$

Equação de onda para  $\delta p$

$$\frac{\partial^2 \delta p}{\partial t^2} = c_s^2 \frac{\partial^2 \delta p}{\partial x_i^2} - \frac{1}{4\pi} \left[ B_{0k} \frac{\partial}{\partial x_k} \frac{\partial \delta B_i}{\partial x_i} - B_{0k} \frac{\partial^2 \delta B_k}{\partial x_i^2} \right].$$

## 1.2. Relação de Dispersão

$$\omega^4 - \omega^2 k^2 (c_s^2 + v_A^2) + c_s^2 v_A^2 k^4 \cos^2 \theta_B = 0, \quad (1)$$

onde  $v_A$  é a velocidade Alfvén [Ferraro e Plumpton 1966]

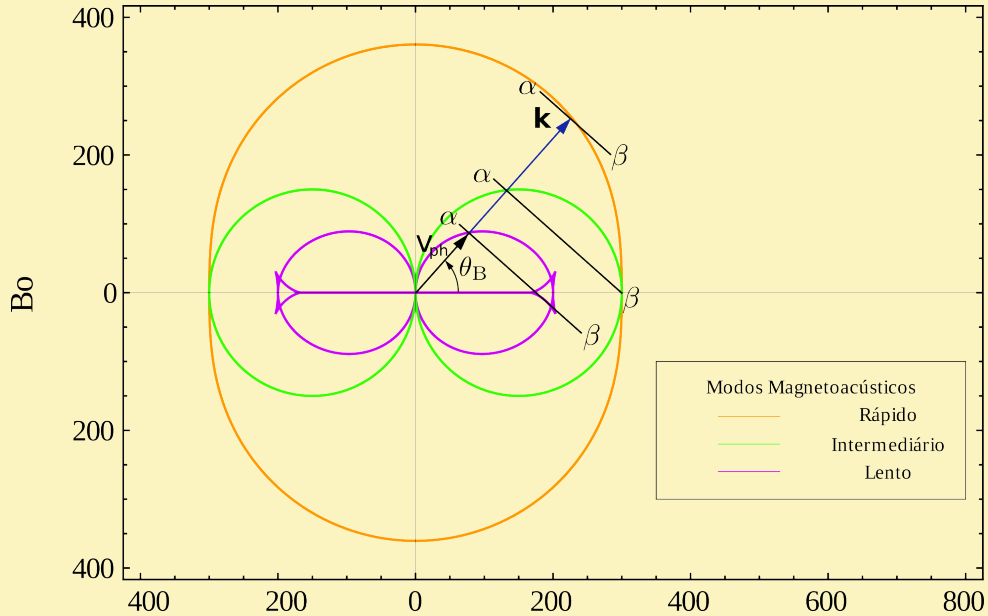
$$v_A = \frac{B_0}{\sqrt{4\pi\rho_0}}.$$

A solução de (1) representa a velocidade de fase  $v_{ph}$ , na direção do vetor de onda  $\mathbf{k}$ , em função do ângulo de propagação  $\theta_B$  [Priest 1982]

$$v_{ph} = \frac{\omega}{k} = \left[ \frac{1}{2}(c_s^2 + v_A^2) \pm \frac{1}{2} \sqrt{c_s^4 + v_A^4 - 2c_s^2 v_A^2 \cos 2\theta_B} \right]^{1/2}$$

Modo Rápido

Modo Lento



**Figura 1.** Diagrama de Friedrichs. Variação da velocidade de fase e de grupo em função do ângulo  $\theta_B$  para ondas com  $v_A > c_s$ .

### 1.3. Dissipação de Energia

- Viscosidade e condução térmica na aproximação de pequenas amplitudes [Ferraro e Plumpton 1966, Ofman e Wang 2002, Erdélyi e Mendoza-Briceño 2004, Al-Ghafri e Erdélyi 2012]. Obtém-se três modos:
  - Modo lento: Gerados por turbulência magnetohidrodinâmica produzida pela reconexão magnética.
  - Modo rápido: Com  $\tau < 3$  s pode balançar a perda radiativa em regiões ativas. Não é eficiente em proeminências.
  - Modo térmico: Devido a presença da condução térmica.
- Ondas de choque na aproximação de amplitudes arbitrárias [Nakariakov, Mendoza-Briceño e Ibáñez 2000, Mendoza-Briceño, Ibáñez e Nakariakov 2001, Verwichte et al. 2008].

O fluido não é mais ideal. Assim, a equação de momentum é expressa como

$$\rho \left( \frac{\partial v_i}{\partial t} + v_j \frac{\partial v_i}{\partial x_j} \right) = -\frac{\partial p}{\partial x_i} + \frac{1}{4\pi} \left[ B_k \frac{\partial B_i}{\partial x_k} - \frac{1}{2} \frac{\partial (|B|^2)}{\partial x_i} \right] + \frac{\partial \sigma'_{ij}}{\partial x_j},$$

onde

$$\sigma'_{ij} = \eta \left( \frac{\partial v_i}{\partial x_j} + \frac{\partial v_j}{\partial x_i} - \frac{2}{3} \delta_{ij} \frac{\partial v_l}{\partial x_l} \right) + \zeta \delta_{ij} \frac{\partial v_l}{\partial x_l}.$$

Por outro lado, a equação de energia ficará como

$$\frac{\partial p}{\partial t} + v_j \frac{\partial p}{\partial x_j} - c_s^2 \left( \frac{\partial \rho}{\partial t} + v_j \frac{\partial \rho}{\partial x_j} \right) = (\gamma - 1) [Q_{th} + Q_{vis} - Q_{rad}].$$

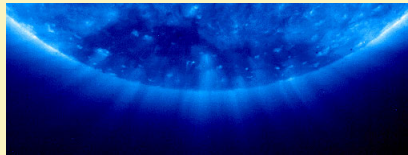
A relação de dispersão neste caso estará dado por um polinômio de 5° grau [Kumar, Kumar e Singh 2006]

$$\omega^5 + iA\omega^4 - B\omega^3 - iC\omega^2 + D\omega + iE = 0.$$

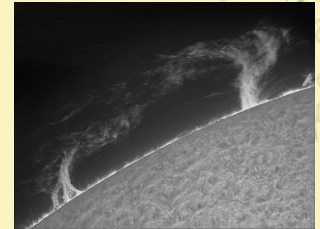
As ondas MHD contribuem para o aquecimento de regiões como



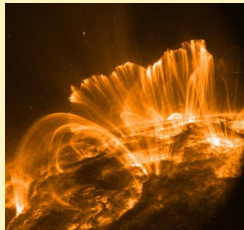
Buracos Coronais  
[Hahn, Landi e Savin 2012]



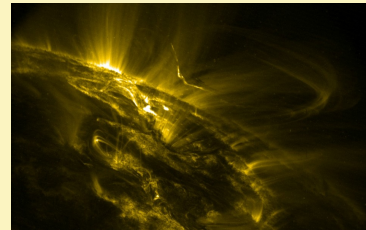
Plumas Polares  
[Ofman, Nakariakov e Deforest 1999]



proeminências  
[Ballester 2010]

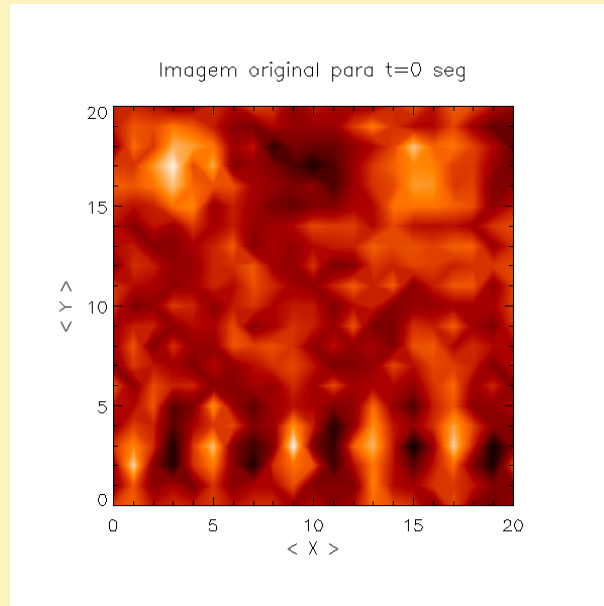


Arcos Coronais  
[Verwichte et al. 2010]

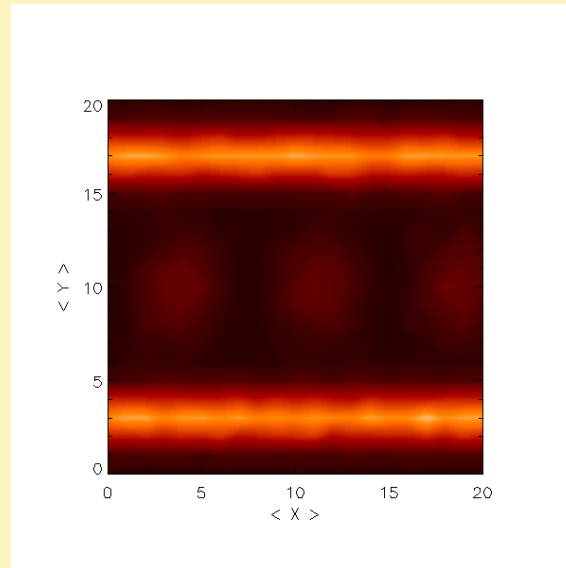


Regiões Ativas  
[Kim, Nakariakov e Shibasaki 2012]

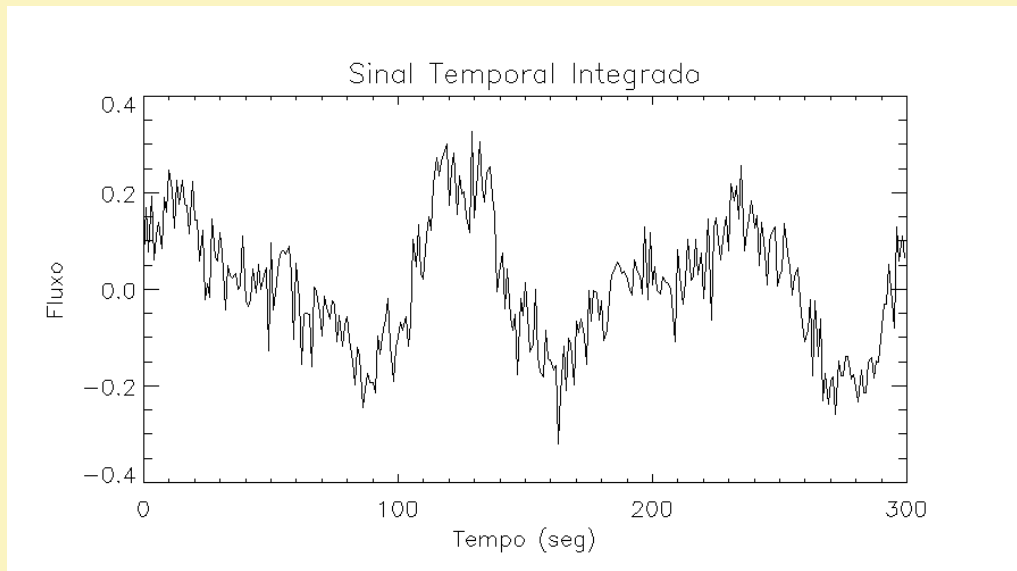
## 2. Observação de Ondas MHD



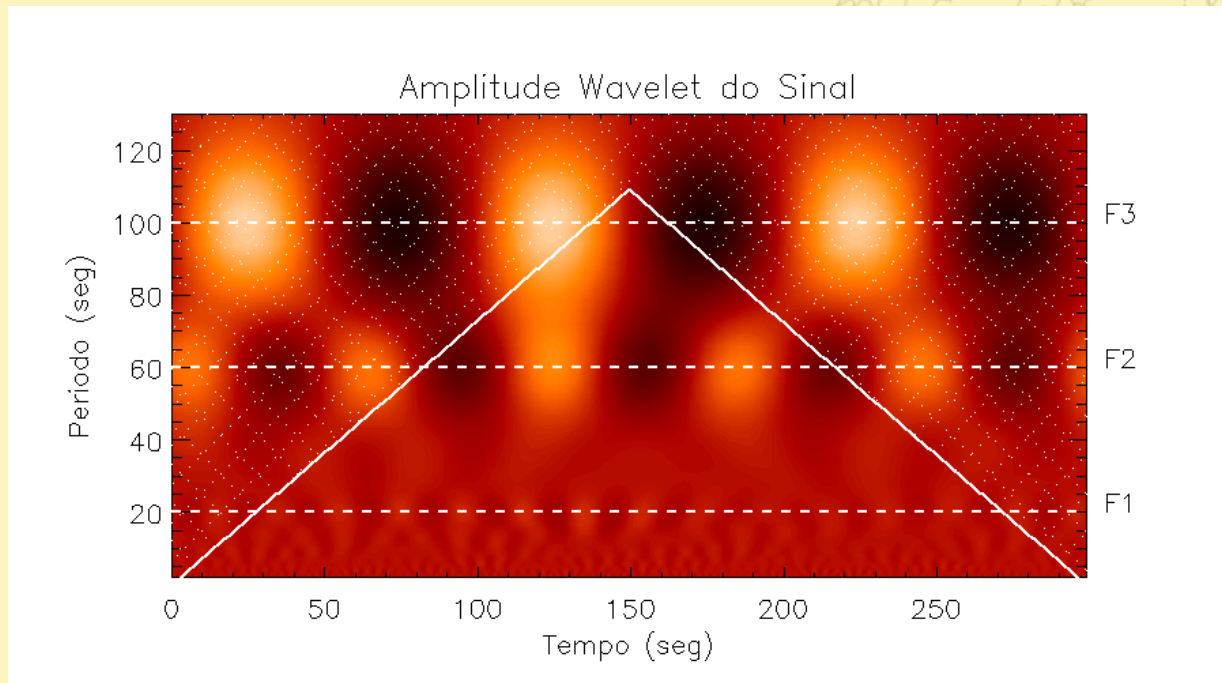
Cubo de dados sintético construído para uma superposição de ondas viajantes e estacionárias. São representados 300 frames de  $21 \times 21$  pixels, com  $\delta t = 1$  s. Acima: Ondas viajantes com  $A = 4$ ,  $T = 60$  s e  $\lambda = 12$ . Médio: Ondas estacionárias com  $A = 2$ ,  $T = 100$  s e  $\lambda = 15$ . Abaixo: Ondas viajantes com  $A = 4$ ,  $T = 20$  s e  $\lambda = 4$ .



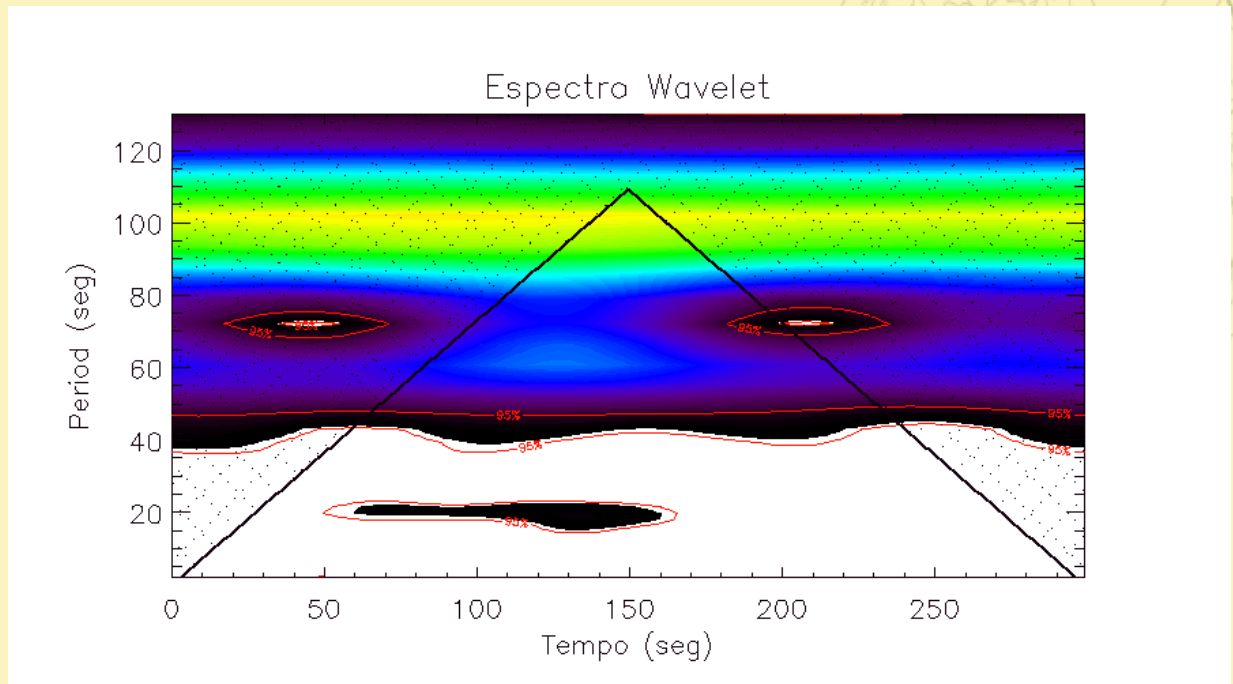
**Figura 2.** Mapa de Variância. Região de Interesse (ROI) onde tem-se possibilidade de encontrar ondas MHD.



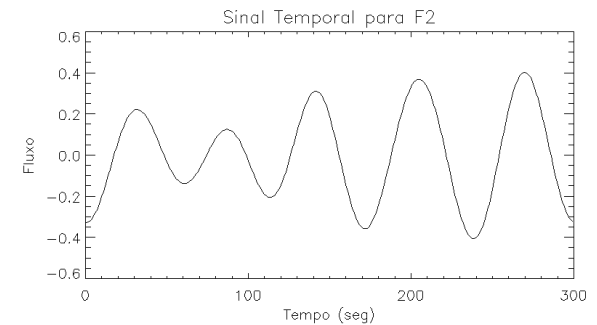
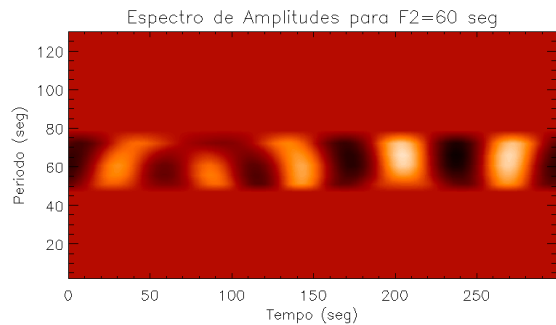
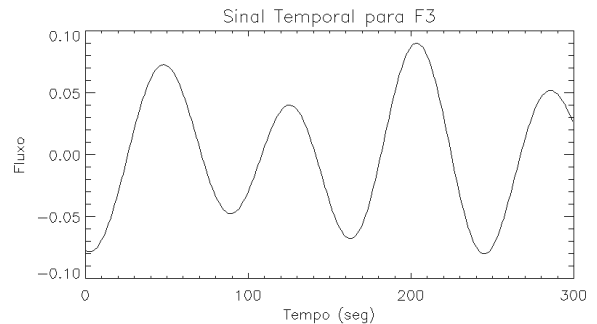
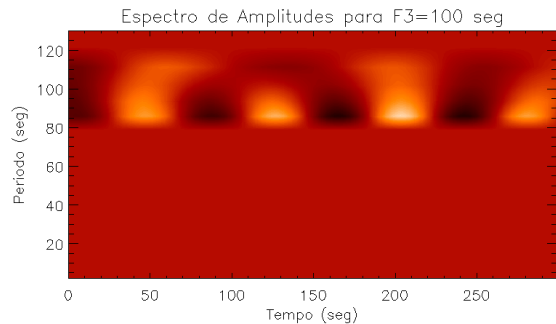
**Figura 3.** Sinal temporal integrado sobre a região de interesse selecionada no cubo de dados sintético. É mostrada a variação temporal do fluxo.



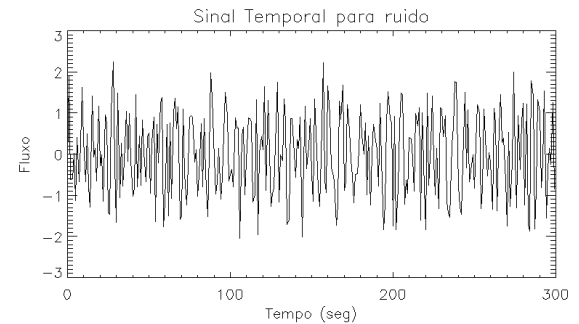
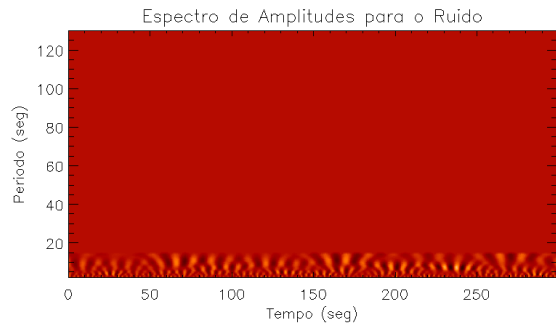
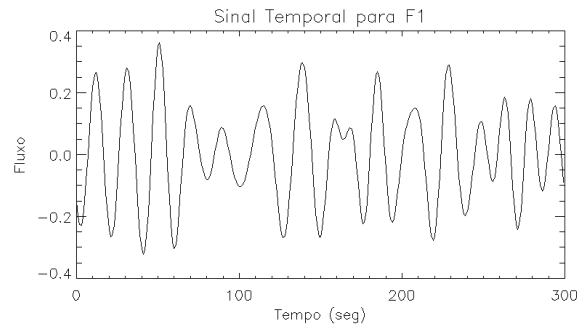
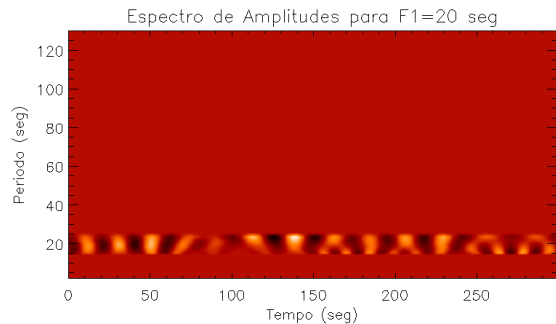
**Figura 4.** Espectro de amplitudes. F1, F2, F3, representam as frequências de interesse, as quais vão ser utilizadas ao calcular a transformada wavelet inversa.



**Figura 5.** Espectro de potências wavelet. São mostrados os períodos com o maior nível de confiança (95%), os quais são visíveis através dos contornos. É identificado o período de 20 seg compreendido entre 50 e 170 seg de duração como um possível trem de onda.

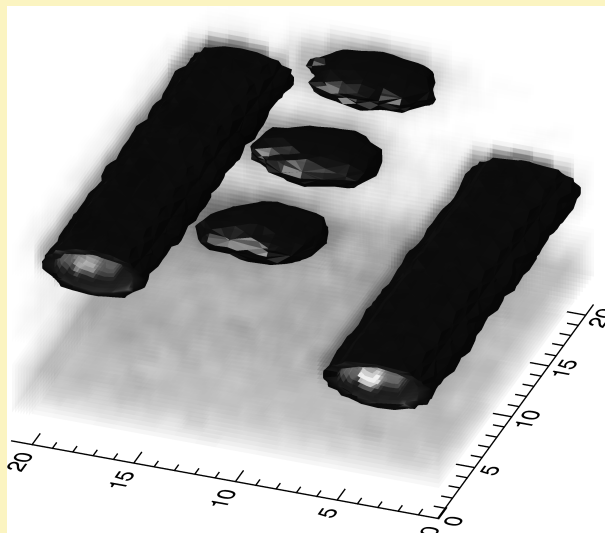


**Figura 6.** Filtragem e Transformada Inversa. Espectro de amplitudes para F3 e F2 onde é calculada a Transformada Wavelet Inversa e porém é obtida a série temporal em banda estreita.



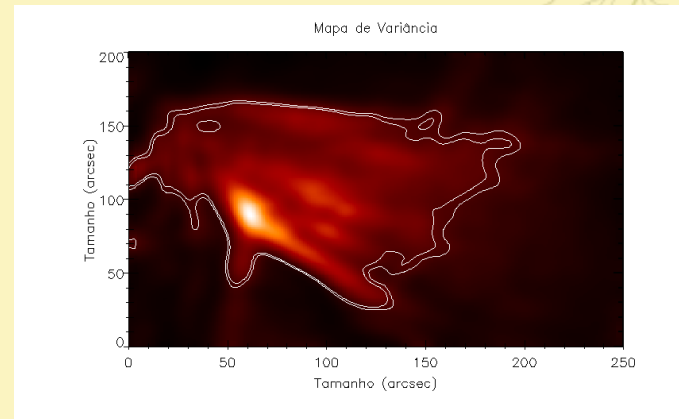
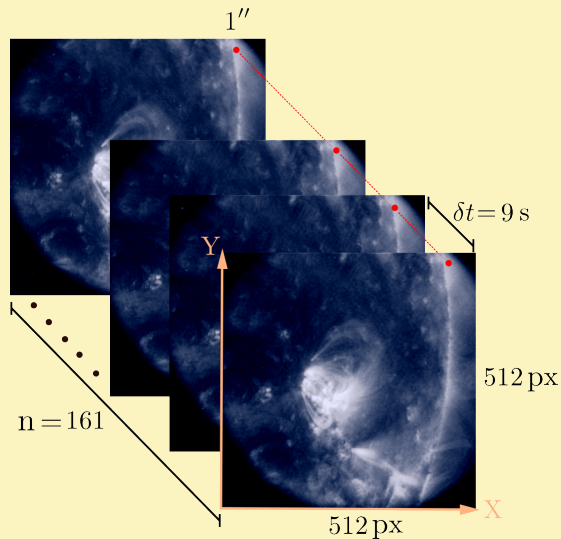
**Figura 7.** Filtragem e Transformada Inversa. Espectro de amplitudes para F1 e o Ruído onde é calculada a Transformada Wavelet Inversa e porém é obtida a série temporal em banda estreita.

A morfologia das ondas pode-se ver na seguinte figura

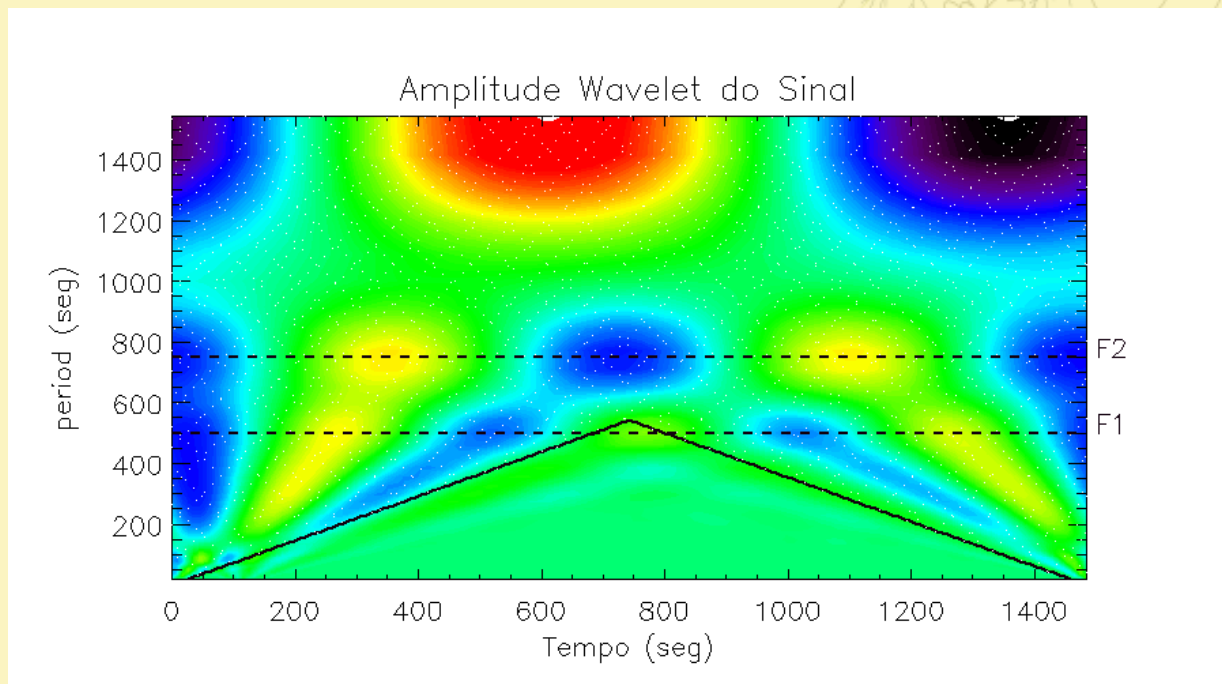


**Figura 8.** Cubo de potências de banda larga. Distribuição espacial da potência do sinal para as ondas viajantes (F1 e F2) e para ondas estacionárias (F3).

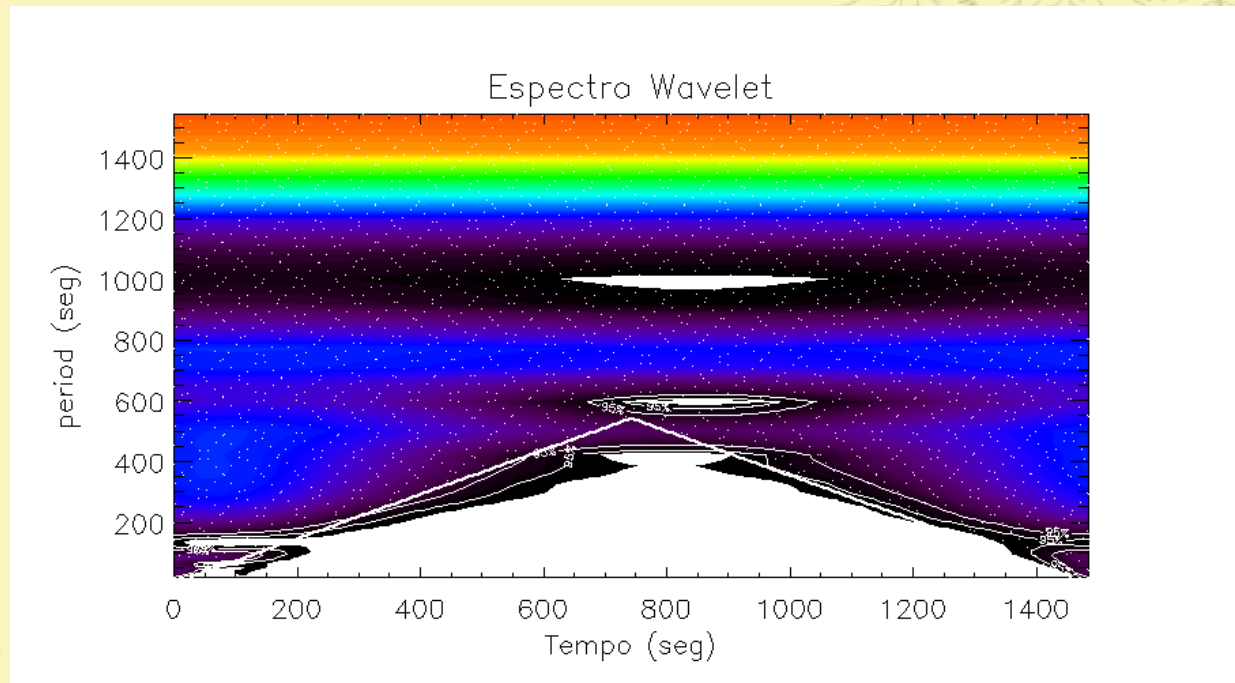
## Cubo de dados 2D



**Figura 9.** Esquerda: Cubo de Dados obtido pelo satélite TRACE na banda de  $171 \text{ \AA}$ , o 23 de março de 1999 às 06:40 UT. Direita: Região de interesse (ROI) [Moortel, Ireland e Walsh 2000].



**Figura 10.** Espectro de amplitudes para o sinal do cubo de dados obtido pelo satélite TRACE na banda de  $171 \text{ \AA}$ , o 23 de março de 1999 às 06:40 UT. F1 e F2 representam as frequências de interesse, as quais vão ser utilizadas ao calcular a transformada wavelet inversa.



**Figura 11.** Espectro de potências para o sinal do cubo de dados obtido pelo satélite TRACE na banda de  $171 \text{ \AA}$ , o 23 de março de 1999 às 06:40 UT. É mostrado o período com o maior nível de confiança (95%), o qual é visível através dos contornos. É identificado o período de 500 seg compreendido entre 700 e 1050 seg de duração como um possível trem de onda.

## Referências

- [Al-Ghafri e Erdélyi 2012]AL-GHAFRI, K. S.; ERDÉLYI, R. The effect of variable background on oscillating hot coronal loop due to thermal conduction. *ArXiv e-prints*, v. 257, p. 135–64, mar 2012.
- [Ballester 2010]BALLESTER, J. L. The damping of small-amplitude oscillations in quiescent prominences. *Advances in Space Research*, v. 46, n. 4, p. 364–376, 2010. ISSN 0273-1177. <ce:title>Advances in Space Environment Research</ce:title>. Disponível em: <<http://www.sciencedirect.com/science/article/pii/S0273117709006218>>.
- [Erdélyi e Mendoza-Briceño 2004]ERDÉLYI, R.; MENDOZA-BRICEÑO, C. A. Damping of loop oscillations in the stratified corona. In: LACOSTE, H. (Ed.). *SOHO 13 Waves, Oscillations and Small-Scale Transients Events in the Solar Atmosphere: Joint View from SOHO and TRACE*. [S.l.: s.n.], 2004. (ESA Special Publication, v. 547), p. 441.
- [Ferraro e Plumpton 1966]FERRARO, V. C. A.; PLUMPTON, C. *An introduction to magneto-fluid mechanics*. Clarendon P., 1966. Disponível em: <<http://books.google.com.br/books?id=3fJQAAAAMAAJ>>.
- [Hahn, Landi e Savin 2012]HAHN, M.; LANDI, E.; SAVIN, D. W. Evidence of wave damping at low heights in a polar coronal hole. *The Astrophysical Journal*, v. 753, p. 36, jul 2012.
- [Kim, Nakariakov e Shibasaki 2012]KIM, S.; NAKARIAKOV, V. M.; SHIBASAKI, K. Slow magnetoacoustic oscillations in the microwave emission of solar flares. *The Astrophysical Journal Letters*, v. 756, p. –36, sep 2012.

[Kumar, Kumar e Singh 2006]KUMAR, N.; KUMAR, P.; SINGH, S. Coronal heating by mhd waves. *Astronomy and Astrophysics*, v. 453, p. 1067–1078, jul 2006.

[Landau e Lifshitz 1987]LANDAU, L.; LIFSHITZ, E. *Fluid Mechanics*. Second. Oxford OX3 0BW, England: 00/1959, 1987. (A Course of Theoretical Physics., v. 6).

[Mendoza-Briceño, Ibáñez e Nakariakov 2001]MENDOZA-BRICEÑO, C. A.; IBÁÑEZ, M. H.; NAKARIAKOV, V. M. Nonlinear magneto-acoustic waves in the solar atmosphere. *Dynamics of Atmospheres and Oceans*, v. 34, p. 399–409, oct 2001.

[Mihalas e Mihalas 1984]MIHALAS, D.; MIHALAS, B. W. *Foundations of radiation hydrodynamics*. New York, Oxford: 00/1984, 1984.

[Moortel, Ireland e Walsh 2000]MOORTEEL, I. D.; IRELAND, J.; WALSH, R. W. Observation of oscillations in coronal loops. *Astronomy and Astrophysics*, v. 355, p. –23, mar 2000.

[Nakariakov, Mendoza-Briceño e Ibáñez 2000]NAKARIAKOV, V. M.; MENDOZA-BRICEÑO, C. A.; IBÁÑEZ, S. M. H. Magnetoacoustic waves of small amplitude in optically thin quasi-isentropic plasmas. *The Astrophysical Journal*, v. 528, p. 767–775, jan 2000.

[Ofman, Nakariakov e Deforest 1999]OFMAN, L.; NAKARIAKOV, V. M.; DEFOREST, C. E. Slow magnetosonic waves in coronal plumes. *The Astrophysical Journal*, v. 514, p. 441–447, mar 1999.

[Ofman e Wang 2002]OFMAN, L.; WANG, T. Hot coronal loop oscillations observed by sumer: Slow magnetosonic wave damping by thermal conduction. *The Astrophysical Journal Letters*, v. 580, n. 1, p. –85, 2002. Disponível em: <<http://stacks.iop.org/1538-4357/580/i=1/a=L85>>.

[Priest 1982]PRIEST, E. R. *Solar magneto-hydrodynamics*. Hingham: D. Reidel Pub. Co., 1982.  
74P p.

[Verwichte et al. 2008]VERWICHTE, E. et al. Damping of slow mhd coronal loop oscillations by shocks. *The Astrophysical Journal*, v. 685, p. 1286–1290, oct 2008.

[Verwichte et al. 2010]VERWICHTE, E. et al. Periodic spectral line asymmetries in solar coronal structures from slow magnetoacoustic waves. *The Astrophysical Journal Letters*, v. 724, n. 2, p. –194, 2010. Disponível em: <<http://stacks.iop.org/2041-8205/724/i=2/a=L194>>.